

مجله علوم و صنایع غذایی ایران

سایت مجله: www.fsct.modares.ac.ir



مقاله علمی_پژوهشی

تولید نانو حامل های لیپیدی حاوی کورکومین و ارزیابی ویژگی های کیفی آن

فخری شهیدی^۱، شادی بلوریان^{۲*}، سید علی مرتضوی^۱، محبت محبی^۱، عبدالرضا باقری^۳

- ۱- استاد، گروه علوم و صنایع غذایی، دانشکده کشاورزی، دانشگاه فردوسی مشهد.
- ۲- استادیار، گروه پژوهشی افزودنی های غذایی پژوهشکده علوم و فناوری مواد غذایی جهاد دانشگاهی خراسان رضوی.
- ۳- استاد، گروه بیوتکنولوژی و به نژادی گیاهان زراعی، دانشکده کشاورزی، دانشگاه فردوسی مشهد.

چکیده

اطلاعات مقاله

کورکومین با نام شیمیایی دیفرؤئیل متان یک پلی فنل هیدروفوب می باشد که به سبب ویژگی های منحصر به فرد سلامتی زایی اش به عنوان یک ترکیب عملگر شناخته شده است. در این پژوهش، از نانوذرات لیپیدی جامد (SLN) و حامل های لیپیدی نانوساختار (NLC) به منظور انکپسولاسیون کورکومین و رفع معضلات مربوط به کاربرد این ترکیب در حوزه غذایی (ناپایداری، زیست فراهمی پایین، حلالیت ناچیز در محیط های آبی)، استفاده گردید. تولید نانو حامل ها با استفاده از روش ترکیبی هموژنیزاسیون با نیروی برشی بالا و فرا صوت صورت پذیرفت. تاثیر نسبت لیپیدها، نوع نانو حامل (SLN ، NLC) و میزان بارگذاری کورکومین بر ویژگی های نانو حامل های تولیدی مورد بررسی قرار گرفت. بر اساس نتایج بدست آمده به دلیل ساختار فیزیکی حجمی کورکومین و همچنین افزایش ویسکوزیته فاز پراکنده در حضور ماده مؤثره، بارگذاری کورکومین در نانو حامل ها باعث افزایش معنی دار در اندازه ذرات و شاخص بس پاشیدگی شد. نتایج آنالیز آماری نشان داد که نسبت لیپیدها، نوع نانو حامل (NLC و SLN) و بارگذاری کورکومین دارای تاثیر معناداری بر اندازه ذرات می باشد ($p<0.05$). نتایج حاصل از کالریمتری رویشی افتراقی نشان داد که کورکومین بدون هیچ گونه برهmekنشی با سایر اجزا در ساختار نانو حامل ها به دام افتاده است. به طور کلی غلظت ۰/۰۵ گلیسرول دی استئارات و ۰/۲۵ کورکومین به عنوان شرایط بهینه برای تولید نانو حامل NLC بود.

تاریخ های مقاله :

تاریخ دریافت: ۱۳۹۷/۱۲/۲۳

تاریخ پذیرش: ۱۴۰۰/۰۳/۰۵

كلمات کلیدی:

نانوذرات لیپیدی جامد (SLN).

حامل های لیپیدی نانوساختار (NLC).

کورکومین،

ویژگی های فیزیکی.

DOI: 10.52547/fsct.18.08.22

*مسئول مکاتبات:

shadibolourian@yahoo.com

فعال در حوزه غذایی است. انکپسولاسیون، به عنوان یک شیوه امیدبخش برای محافظت از ترکیبات زیست فعال (از قبیل ویتامین‌ها، آنتیاکسیدان‌ها، پروتئین‌ها و لیپیدها) مطرح می‌باشد که می‌تواند این ترکیبات را در شرایط نامناسب محیطی محافظت نموده، ویژگی‌های نامطلوب آنها را بهبود بخشیده یا رفع نماید.

در این راستا استفاده از نانو انکپسولاسیون و تولید نانوحاصل‌ها به عنوان ناقل‌هایی برای ترکیبات زیست‌فعال در محصولات فراسودمند، رو به افزایش می‌باشد [۹].

سیستم‌های نانو انکپسولاسیون را می‌توان به طورکلی به دو دسته سیستم‌های بر پایه پلیمر (کربوهیدرات و پروتئین) و سیستم‌های بر پایه لیپید تقسیم کرد. عدم وجود روش‌های مناسب برای تولید در مقیاس‌های صنعتی، در دسترس نبودن پلیمرهای مناسب، استفاده از حلال‌های آلی و همچنین طبیعت آبرگریزی بسیاری از مواد زیست‌فعال باعث شده است که میزان محصولات تولیدی بر پایه سیستم‌های پلیمری محدود باشد [۱۰]. از طرفی، استفاده از نانوحاصل‌های لیپیدی در مقایسه با نانوحاصل‌های کربوهیدراتی و پروتئینی دارای مزایایی از قبیل امکان تولید صنعتی و عدم نیاز به ترکیبات آلی برای تولید است [۱۱]. علاوه بر این، حضور لیپیدهای قابل هضم و خوراکی باعث تسهیل جذب مواد زیست‌فعال در روده کوچک نیز می‌شود، زیرا این لیپیدها میزان میسل‌های در دسترس برای هضم و انتقال ترکیبات آبرگریز را افزایش می‌دهند [۱۲].

نانوذرات لیپیدی جامد^۱ (SLN) و حامل‌های لیپیدی نانوساختار^۲ (NLC) نسل‌های جدیدی از حامل‌های لیپیدی می‌باشند که طی چندین سال اخیر توانسته‌اند در حوزه داروسازی و مواد غذایی توجه علمی و تجاری زیادی را به سوی خود جلب کنند [۱۳].

تبایونچای و همکاران (۲۰۰۷) نمونه‌های SLN حاوی کورکومینوئید را توسط روش میکروامولسیون در دمای ۷۵ درجه و با استفاده از اسید استئاریک و گلیسرول مونو استئارات تولید کردند. در این پژوهش مشخص شد که تغییر در میزان اجزاء فرمولاسیون می‌تواند بر میزان بارگذاری کورکومین، متوسط اندازه ذرات و پراکنده‌گی اندازه ذرات موثر باشد. در شرایط بهینه فرایند، SLN خشک شده به روش انجام‌دادی دارای

۱- مقدمه

با افزایش آگاهی عمومی مبنی بر رابطه بین غذا و بیماری، تولیدکنندگان در حال تلاش برای غذی‌سازی غذاهای اصلی مردم با مواد مغذی و تولید فراورده‌های فراسودمند می‌باشند. از جمله گیاهانی که در سال‌های اخیر به دلیل وجود مواد موثره طبیعی و این مورد توجه واقع شده است، گیاه زردچوبه می‌باشد [۱]. کورکومین با نام شیمیایی دی فرولیل متان (E100)، یک پلی‌فنل هیدروفوب مشتق شده از ریزوم گیاه زردچوبه (*Curcuma longa*) است. ریزوم زردچوبه حاوی سه آنالوگ رنگی مهم کورکومین، دمتوكسی کورکومین (DMC) و بیس دمتوكسی کورکومین (BDMC) است که در مجموع کورکومینوئید نامیده می‌شوند. این ترکیبات عامل ایجاد رنگ زرد در زردچوبه هستند که در موقعیت گروه متوكسی بروی حلقه آروماتیک با یکدیگر متفاوت می‌باشند. در میان این سه آنالوگ، کورکومین در زردچوبه از همه فراوان‌تر است [۲].

بر اساس تحقیقات انجام‌شده کورکومین دارای ویژگی‌های عملکردی چشمگیری می‌باشد و در مطالعات مختلف خواص متفاوتی از این ترکیب از جمله فعالیت ضدتوموری و ضدسرطانی، کاهش سطح کلسترول خون و کبد، افزایش عملکرد ایمنی بدن، جلوگیری از بیماری‌های قلبی-عروقی، جلوگیری از آسیب غشاء‌های زیستی در مقابل پراکسیداسیون، خاصیت ضدالتهابی و کاهش آرتروز روماتیسمی و حفاظت در مقابل بیماری آلزایمر گزارش شده است. این اثرات به واسطه تنظیم عوامل رونویسی مختلف، عوامل رشد، سیتوکین‌های التهابی، کینازهای پروتئینی و آنزیم‌های دیگر ایجاد می‌شود [۳-۶].

با وجود منافع مختلف مذکور برای کورکومین، وجود بعضی موارد شامل حلالیت پایین در محیط آبی [۷]، حساسیت به شرایط نامطلوب محیطی و پایین‌بودن زیست‌دسترسی این ترکیب در سیستم گوارشی (۱۰ تا ۳۰ درصد از کورکومین مصرفی) [۸] باعث محدودشدن کاربرد این ترکیب در صنایع غذایی شده است. یکی از راه‌کارهای رفع این معضلات، استفاده از نانو انکپسولاسیون می‌باشد. در چندین دهه‌ی اخیر، کاربردهای بسیار فراوانی در خصوص نانوتکنولوژی در حوزه‌های مختلف غذایی مطرح گردیده است که یک مورد از کاربردهای بالفعل آن نانو انکپسولاسیون و رسانش مواد زیست

1. Solid Lipid Nanoparticles
2. Nanostructure Lipid Carrier

توخالی ایجاد شده از طریق روش لایه به لایه و بررسی رهایش و میزان تأثیر سمیت سلولی کورکومین رها شده بر سلول های نرمآل ۹۲۹ L (مانجو و اسینوسان، ۲۰۱۱)، تولید نانوسفرهای مخاط چسب حاوی کورکومین با اتیل-سلولز یا مخلوط متمیل و اتیل سلولز و بررسی فعالیت بیولوژیکی و رهایش آنها در سیستم گردش خون (سواننتیپ و همکاران، ۲۰۱۱) و تولید نانوذرات حاوی کورکومین که نسبت به حرارت عکس العمل نشان داده و اندازه آنها تغییر می کند، همچنین بررسی اثرات ترکیبی آنها در تخریب سلول های سلطانی (راو و همکاران، ۲۰۱۳) نیز از جمله تحقیقات دیگری می باشد که در مورد کورکومین انجام شده است [۲۰، ۱۹، ۱۸ و ۲۱].

باتوجه به مزایای ذکر شده در رابطه با حامل های لیپیدی نانوساختار و نانو ذرات لیپیدی جامد در مقایسه با سایرسیستم های لیپیدی و پلیمری، در این پژوهش نیز از این حامل ها با هدف بارگذاری، افزایش پایداری و بهبود ویژگی های نامطلوب کورکومین استفاده گردید. پس از طراحی نانوحامل ها و بارگذاری کورکومین در آنها، تأثیر عوامل مختلف از قبیل نوع نانوحامل، میزان بارگذاری و نسبت لیپیدهای مصرفی بر ویژگی های مختلف نانوحامل های تولیدی مورد بررسی قرار گرفت.

۲- مواد و روش ها

کورکومین (7-CAS Number 458-37-7) از شرکت سیگما خریداری شد. گلیسرول مونو استئارات (GMS، شرکت بی دی اج، انگلستان) لیستین سویا (شرکت اکراس ارگانیک، آمریکا) و تؤین ۸۰ (شرکت مرک، آلمان) با خلوص آزمایشگاهی تهیه گردیدند. گلیسرول دی استئارات (GDS) (پرسیروول آتو ۵) و اسید اولئیک از شرکت گتفوشه فرانسه خریداری شد.

۱-۲- تولید نانوحامل های لیپیدی حاوی رنگدانه کورکومین

تولید نانوحامل ها در این پژوهش از طریق هموژنیزاسیون با فشار برشی بالا و امواج فرماحتانجام شد. به منظور تولید حامل های لیپیدی نانوساختار و نانوذرات لیپیدی جامد، فاز آبی

ذرات کروی شکل با اندازه متوسط ۴۵۰ نانومتر و شاخص پراکنده ۰/۴ بود [۱۴].

در تحقیقی مشابه آپیراتیکول و همکاران (۲۰۱۳)، از یک چربی کاتیونی بر پایه کلسیترول برای تولید لیپوزوم استفاده کردند و لیپوزوم ایجاد شده از این چربی به عنوان یک حامل برای کورکومین مورد استفاده قرار گرفت. میزان جذب سلولی و سمیت سلولی مربوط به کورکومین آزاد و کپسوله شده مورد مقایسه قرار گرفت و مشخص گردید که با پوشش دهنده کورکومین، میزان جذب افزایش و میزان سمیت کاهش یافته است [۱۵].

لین و همکاران (۲۰۰۹)، در تحقیقی دیاگرام سه فازی مربوط به کورکومین انکپسوله شده در سیستم امولسیونی را رسم کردند. به منظور تهیه امولسیون از مواد قابل مصرف خوراکی (شامل لیستین و تؤین ۸۰ به عنوان امولسیفایر و اتیل اولئات به عنوان فاز روغن) استفاده شد. پایداری و خصوصیات کورکومین در میکروامولسیون مورد بررسی قرار گرفت. امولسیون با اندازه ذرات $2/45 \pm 71/8$ نانومتر پس از دو ماه نیز پایدار بود. بر اساس نتایج بدست امده بیشترین میزان فاز روغن $10/3\%$ بود، که در آن نسبت مولی لیستین به تؤین ۸۰ معادل $3/3$ بود. انکپسولاسیون کورکومین علاوه بر ممانعت از تخریب کورکومین، منجر به افزایش غلظت کورکومین در فاز آبی شد. در این پژوهش نفوذ کورکومین با دیاگرام های فازی متفاوت به داخل پوست نیز مورد بررسی قرار گرفت [۱۶].

احمد و همکاران (۲۰۱۰) از سیستم نانوامولسیون (شعاع کمتر از ۱۰۰ نانومتر) و امولسیون معمولی (شعاع بیش از ۱۰۰ نانومتر) برای انکپسولاسیون و بررسی رهایش کورکومین استفاده کردند. در این تحقیق، تأثیر فرمولاسیون های لیپیدی مختلف بر انکپسولاسیون و زیست دسترسی کورکومین بررسی شد. برای تهیه امولسیون ها از چربی های بلند زنجیر (روغن ذرت)، کوتاه زنجیر (تری بوترین) و متوسط زنجیر (میگلیول ۸۱۲) استفاده شد. نرخ و میزان هضم فاز چربی تحت شرایط شبیه سازی شده روده ای مدل سازی و میزان کورکومین آزاد شده نیز محاسبه شد. نتایج نشان داد میزان زیست فراهمی کورکومین در اسیدهای چرب متوسط زنجیر بیشتر و در اسیدهای کوتاه زنجیر کمتر بود [۱۷].

انکپسولاسیون کورکومین در نانوذرات زئین (گومز- استاک و همکاران، ۲۰۱۱)، انکپسولاسیون کورکومین در کپسول های

۲-۲- مشخصات نانوذرات تولیدی

۱-۲-۲- تعیین اندازه ذرات و شاخص چندبس پاشیدگی آن

متوسط اندازه ذرات و شاخص چندبس پاشیدگی نانوذرات، با استفاده از طیف سنج الکترونی فوتون بر مبنای روش تفرق نور Particle Size Analyzer در دمای محیط و طول موج ۶۵۷ نانومتر اندازهگیری گردید.^[۱۰] اهمیت اندازهگیری اندازه ذرات به تأثیر این شاخص بسیار رهایش مربوط می‌شود. میانگین شاخص Z به عنوان اندازه ذرات و شاخص پراکشن ذرات (PDI)^۱ گزارش شد. شاخص چندبس پاشیدگی نشان دهنده میزان یکنواخت بودن دیسپرسیون بوده و از صفر تا یک متغیر است که هر چه این شاخص کمتر باشد، دیسپرسیون یکنواخت‌تر خواهد بود.^[۲۳]

۲-۲-۲- اندازهگیری پتانسیل زتا

پتانسیل زتا که در واقع شاخصی از بار الکتریکی سطح نانوذرات می‌باشد، با استفاده از دستگاه زتامتر Compact, CAD instrumentation, France) اندازه گیری شد. در این آزمون، ابتدا تحرک الکتروفورتیک ذرات دیسپرسیون (U_E) در یک میدان الکتریکی توسط روش‌های میکروسکوپی تعیین شد و پس از آن پتانسیل زتا (ζ) با استفاده از معادله ای اسمولوچوسکی توسط دستگاه محاسبه گردید.

$$U_E = \frac{4\pi\epsilon_r\epsilon_0(1+K_r)}{6\pi\mu}$$

که در این رابطه ϵ_0 و ϵ_r به ترتیب ثابت دی الکتریک نسبی و نفوذپذیری الکتریکی خلاء، ۱ شاعع ذره، μ ویسکوزیته سوسپانسیون و K_r پارامتر دبی-هاکل و مقداری ثابت می‌باشد.^[۲۳]

۲-۲-۳- بررسی ویژگی‌های حرارتی

به منظور بررسی ویژگی‌های حرارتی کورکومین، گلیسرول مونو استئارات، گلیسرول دی استئارات و نانو حامل‌های تولیدی از روش گرماسنجی پویشی تفاضلی^۲ (DSC) استفاده شد. برای انجام این آزمون از نمونه‌های خشک شده انجام‌داد استفاده گردید. ۵ میلی‌گرم از نمونه‌ها توزین شده و بر روی پن آلومنیومی دستگاه قرار داده شد. آزمون کالریمتری رویشی در

حاوی امولسیفایر (توئین ۸۰) و فاز لیپیدی حاوی لسیتین و کورکومین به طور جداگانه تهیه شدند. برای کلیه فرمولاسیون‌ها از ۳ درصد توئین ۸۰ و ۰/۶ درصد لسیتین در ساخت حامل‌های لیپیدی نانوساختار، ۲۰ درصد از لیپیدهای جامد با اسید اولنیک جایگزین گردید. در این پژوهش تاثیر نسبت لیپیدها (نسبت گلیسرول مونو استئارات به گلیسرول دی استئارات) بارگذاری کورکومین (عدم بارگذاری کورکومین، بارگذاری در غلظت‌های ۰/۵ و ۰/۲۵ درصد) و نوع نانو حامل SLN و NLC بر ویژگی‌های نانوذرات تولیدی مورد بررسی قرار گرفت. ترکیب نانو حامل‌های تولیدی در جدول شماره ۱ نشان داده شده است.

Table 1 Independent variables and their levels used in the CCD design

Level of factors	GMS	GDS	Curcumin
-1	0	0	0
0	2.5	2.5	0.25
+1	5	5	0.5

فاز آبی و فاز چربی به طور جداگانه تهیه و به مدت ۱۵ دقیقه در دمای ۸۰ درجه سانتی‌گراد قرار داده شد تا به دمای یکسان برسند. فاز آبی به فاز چربی افزوده شده و به مدت ۱ دقیقه درمای ۸۰ درجه سانتی‌گراد با سرعت ۲۰۰۰ دور بر دقیقه T 25 digital ULTRA-TURRAX, (IKA,Germany). پیش امولسیون تولیدی با استفاده از برو布 فراصوت (XL 2020, Misonix, USA) با توان خروجی ۲۵٪ به تعداد ۵۰ سیکل (۴ ثانیه روشن و ۱ ثانیه خاموش) تحت تیمار فراصوت قرار گرفت. پس از اتمام فراصوت، نمونه تولیدی برای دومین بار به مدت ۱ دقیقه با سرعت ۲۰۰۰ دور بر دقیقه در دمای ۸۰ درجه سانتی‌گراد هوموژن شد و در نهایت پس از سرد کردن دیسپرسیون تولیدی در حمام یخ، نانو حامل‌های لیپیدی تولید شدند.^[۲۲]

به منظور بررسی ویژگی‌های حرارتی نانو حامل‌ها، بخشی از دیسپرسیون تولیدی، در دمای ۳۰- درجه سانتی‌گراد و فشار ۱/۰ میلی بار به مدت ۴۸ ساعت تحت فرایند خشک کردن انجام‌داد قرار گرفت.

1. Poly Dispersity Index

2. Differential Scanning Calorimetry

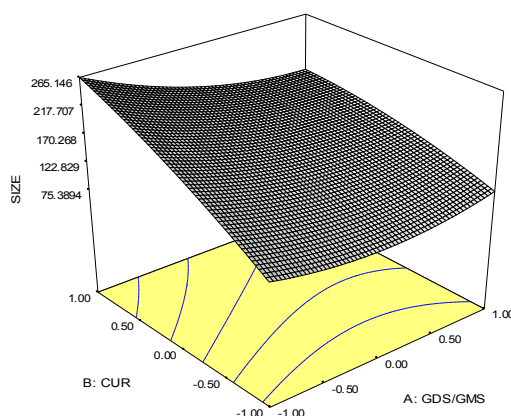


Fig 1 Response surface plot of the combined effect of lipids ratio and curcumin concentration on Particle size of NLC nanocarrier.

همان طور که در جدول شماره ۳، مشاهده می‌شود، در نانوحاصل‌های تولیدشده به روش SLN، عبارت‌های نسبت لیپیدها، غلظت کورکومین، بر هم‌کنش بین متغیرها و عبارت درجه دوم نسبت لیپیدها، عبارت‌های معنی‌دار بر تغییرات اندازه ذرات بودند. افزایش غلظت گلیسرول دی‌استشارات باعث کاهش اندازه نانوحاصل‌های تولیدشده به روش SLN شد (شکل شماره ۲).

Table 3 Analysis of variance (ANOVA) for particle size of SLN nanocarriers

Source	DF	P value
A	1	0.031
B	1	0.043
A×B	1	0.013
A×A	1	0.031
B×B	1	0.388 ^{ns}
Error	6	
Total	11	

A: GDS/GMS (w/w)

B: Concentration of curcumin

ns: Not significant at 5 % level

در خصوص تاثیر نسبت لیپیدها بر اندازه ذرات لازم به ذکر است که گلیسرول مونواستارات نسبت به گلیسرول دی‌استشارات دارای نقطه ذوب بیشتری است، این امر سبب افزایش ویسکوزیته فاز پراکنده در دیسپرسیون نانوحاصل‌ها می‌شود که در نتیجه باعث کاهش نیروی اعمالی مؤثر (کارآیی) طی فرایند هموژنیزاسیون و فراصوت شده و در نتیجه اندازه ذرات افزایش می‌یابد [۲۴]. همانطور که در شکل‌های شماره ۱ و ۲ مشاهده می‌شود، با افزایش غلظت کورکومین اندازه نانوحاصل‌های SLN و NLC افزایش یافت. این پدیده به دلیل

دامنه دمایی ۲۰ تا ۲۱۰ درجه سانتی‌گراد با نرخ دمایی ۱۰ درجه سانتی‌گراد بر دقیقه و در حضور گاز نیتروژن با جریان ۳۰ میلی لیتر در دقیقه انجام شد (DSC 822، سوئیس) [۲۲].

۳-۲- روش آماری

تجزیه و تحلیل داده‌ها با استفاده از طرح کاملاً تصادفی با استفاده از GLM General Linear Model توسط نرم افزار SPSS صورت گرفت. مقایسه میانگین‌ها با استفاده از آزمون دانکن انجام شد. تمامی آزمایش‌هادرسه تکرار صورت گرفت.

۳- نتایج و بحث

۳-۱- تأثیر نسبت لیپیدها و غلظت کورکومین بر تغییرات اندازه نانوحاصل‌های تولیدشده به روش NLC و SLN

اندازه ذرات بر پایداری فیزیکی و شیمیایی، حلایت، عملکرد بیولوژیک، نرخ رهایش، کدورت و تیرگی نانو دیسپرسیون‌ها موثر می‌باشد [۱۰]. نتایج آنالیز واریانس (ANOVA) برای نانوحاصل‌های NLC در جدول ۲ نشان داده شده است.

Table 2 Analysis of variance (ANOVA) for particle size of NLC nanocarriers

Source	DF	P value
A	1	0.024
B	1	0.011
A×B	1	0.703 ^{ns}
A×A	1	0.45 ^{ns}
B×B	1	0.228 ^{ns}
Error	6	
Total	11	

A: GDS/GMS (w/w)

B: Concentration of curcumin

ns: Not significant at 5 % level

با توجه به نتایج بدست آمده، نسبت گلیسرول دی‌استشارات به گلیسرول مونواستارات و غلظت کورکومین اثرات معنی‌دار بر اندازه ذرات داشتند. در حالی که بر هم‌کنش بین متغیرهای مستقل معنی‌دار نبود. مقادیر P در جدول ۲ نشان می‌دهد که همه متغیرهای دارای اثر خطی بر اندازه متوسط نانوحاصل‌های NLC می‌باشند. با افزایش غلظت گلیسرول در استشارات، اندازه نانوحاصل‌ها کاهش یافت (شکل شماره ۱). این پدیده را می‌توان با توجه به نقطه ذوب و ساختار کریستالی این چربی‌ها تفسیر نمود [۲۴].

است. شکل ۳، بیانگر تأثیر متغیرهای مستقل بر شاخص چند بس پاشیدگی NLC به صورت شمای سه بعدی می‌باشد. با توجه به معنی دار بودن اثرات خطی و درجه دوم غلظت کورکومین (جدول ۴)، وجود رابطه‌ی غیرخطی بین غلظت کورکومین و PDI مشخص است؛ به طوری که شکل ۳، نیز مبین این رفتار غیر خطی بوده و با افزایش غلظت کورکومین، میزان PDI افزایش یافته.

در رابطه با نحوه‌ی تأثیرگذاری نسبت لیپیدها باید اشاره شود که تأثیر خطی آن معنی دار نبود، در حالی که تأثیر درجه دوم معنی دار بود (جدول ۴) که چنین نتیجه گیری می‌شود که در شکل این پاسخ، انحناء وجود دارد. وجود انحنا (رابطه‌ی غیرخطی) با بررسی شکل ۳، به وضوح مشاهده می‌گردد.

Table 4 Analysis of variance (ANOVA) for PDI of NLC nanocarriers

Source	DF	P value
A	1	0.35 ^{ns}
B	1	0.012
A×B	1	0.42 ^{ns}
A×A	1	0.015
B×B	1	0.021
Error	6	
Total	11	

A: GDS/GMS (w/w)
B: Concentration of curcumin
ns: Not significant at 5 % level

سااختار فیزیکی حجمی کورکومین و در نتیجه اشغال کردن فضای زیادی از نانوحاامل است.

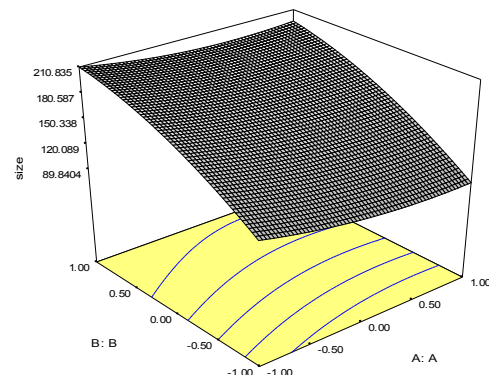


Fig 2 Response surface plot of the combined effect of lipids ratio and curcumin concentration on particle size of SLN nanocarrier.

همچنین افزایش ویسکوزیته فاز پراکنده در حضور ماده مؤثره و در نتیجه دشوار شدن کاهش اندازه‌ی ذرات در طی فرایند هموژئیزاسیون نیز می‌تواند یکی دیگر از عوامل این افزایش باشد. به دلیل مقاومت بالاتر نسبت به نیروی ثقل به واسطه حرکت برآونی، نانوذرات با اندازه کوچکتر دارای پایداری بیشتری است [۱۱].

خلیل و همکاران (۲۰۱۳) در پژوهش خود مشاهده کردند که افروden روغن مایع به فرمولاسیون نانوحاامل‌های حاوی ملوکسی‌کام^۱ باعث کاهش اندازه نانو ذرات شد. این محققان دلیل کاهش اندازه ذرات را تحرک بیشتر زمینه یلیپیدی پس از افروden روغن مایع و در نتیجه توسعه تشکیل ذرات کوچک تر بیان کردند [۲۴].

۲-۳- تأثیر نسبت لیپیدها و غلظت کورکومین بر شاخص چند بس پاشیدگی نانوحاامل‌های

تولیدشده به روش NLC و SLN

شاخص چند بس پاشیدگی نشان‌دهنده میزان یکنواختی دیسپرسیون بوده، به طور تئوری در محدوده صفر تا ۱ قرار دارد. مقادیر بزرگتر از ۰/۵ نشان‌دهنده‌ی پراکنده‌ی وسیع اندازه ذرات می‌باشد [۱۰]. همان طور که در جدول ۴، مشاهده می‌شود، عباراتی که برای شاخص چند بس پاشیدگی NLC می‌شود، شامل غلظت کورکومین (B) و عبارات درجه دوم غلظت کورکومین (B^2) و درجه دوم نسبت لیپیدها (A^2)

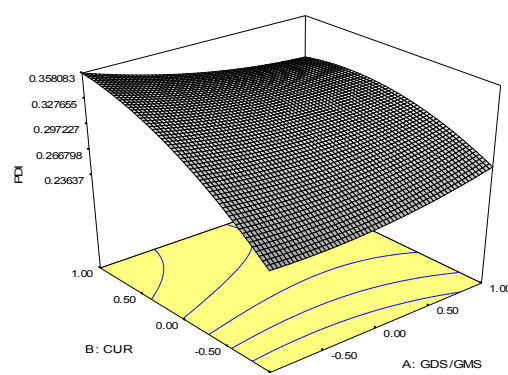


Fig 3 Response surface plot of the combined effect of lipids ratio and curcumin concentration on PDI of NLC nanocarrier.

در رابطه با نانوذرات لیپیدی جامد SLN، همان طور که در جدول ۵ مشاهده می‌شود، عباراتی که برای شاخص چند بس پاشیدگی معنی دار شدند شامل غلظت گلیسرول دی‌استئارات به گلیسرول مونو‌استئارات و غلظت کورکومین بودند. شکل ۴ بیانگر تأثیر متغیرهای مستقل بر شاخص چند بس پاشیدگی SLN، به صورت شمای سه بعدی می‌باشد. همان طور که

1. Meloxicam

۳-۳- تأثیر نسبت لیپیدها و غلظت کورکومین بر پتانسیل زتا نانو حامل های تولید شده به روش SLN و NLC

پتانسیل زتا یک شاخص بسیار مهم در پایداری فیزیکی نانو حامل ها است و بالاتر بودن آن نشان دهنده پایداری بیشتر نانو حامل می باشد. منفی بودن بار سطحی ناشی از حضور گروه هیدروکسیل در توئین 80 و لستین که امولسیفارهای آبیونی هستند، می باشد. همان طور که در جدول ۶، مشاهده می گردد، عبارت های معنی دار بر تغییرات پتانسیل زتا NLC شامل غلظت کورکومین (B) و عبارت درجه دوم غلظت کورکومین (B^2) بودند. شکل ۵ بیانگر تأثیر متغیرهای مستقل بر پتانسیل زتابه صورت شمامی سه بعدی می باشد.

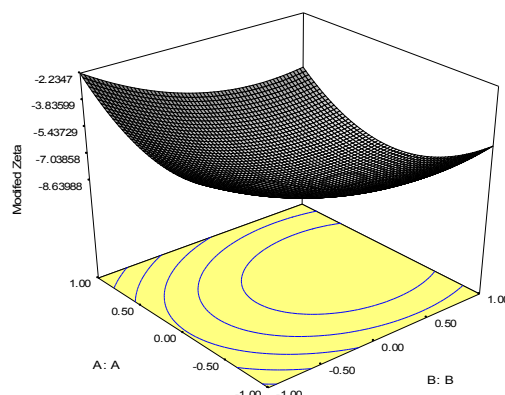


Fig 5 Response surface plot of the combined effect of lipids ratio and curcumin concentration on zeta potential of NLC nanocarrier

همان طور که مشاهده می شود، افزایش این متغیر سبب افزایش پتانسیل زتا در نمونه ها می شود. در حالی که تغییر نوع لیپید مصرفی هیچ تغییر معنی داری را در این شاخص به وجود نیاورد.

Table 6 Analysis of variance (ANOVA) for zeta potential of NLC nanocarriers

Source	DF	P value
A	1	0.068ns
B	1	0.038
A×B	1	0.788 ^{ns}
A×A	1	0.139 ^{ns}
B×B	1	0.018 ^{ns}
Error	6	
Total	11	

A: GDS/GMS (w/w)
B: Concentration of curcumin
ns: Not significant at 5 % level

مشاهده می شود در غلظت های بالای کورکومین، با افزایش غلظت گلیسرول دی استارتار، شاخص چند بس پاشیدگی کاهش می یابد. دلیل این امر را توان با توجه به نقطه ذوب و ساختار کریستالی این ترکیبات تفسیر نمود. با توجه به این که گلیسرول دی استارتار نسبت به گلیسرول مونو استارتار دارای نقطه ذوب کمتری است که این امر سبب کاهش ویسکوزیته ای فاز پراکنده در دیسپرسیون نانو حامل ها و در نتیجه توزیع یکنواخت تر ذرات می شود.

Table 5 Analysis of variance (ANOVA) for PDI of SLN nanocarriers

Source	DF	P value
A	1	0.022
B	1	0.01
A×B	1	0.583 ^{ns}
A×A	1	0.21 ^{ns}
B×B	1	0.463 ^{ns}
Error	6	
Total	11	

A: GDS/GMS (w/w)

B: Concentration of curcumin

ns: Not significant at 5 % level

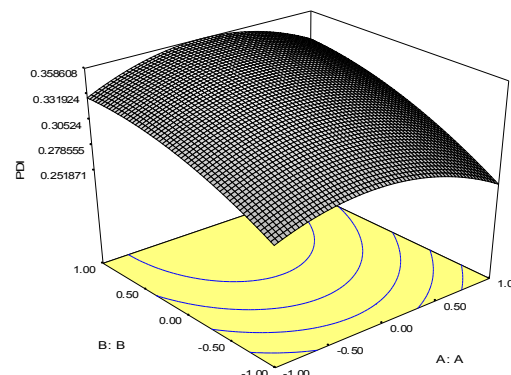


Fig 4 Response surface plot of the combined effect of lipids ratio and curcumin concentration on PDI of SLN nanocarrier

در خصوص تاثیر غلظت کورکومین، بر میزان PDI می توان بیان کرد که افزایش PDI در نانو حامل های حاوی کورکومین می تواند به علت افزایش حضور کورکومین آزاد (انکپسوله نشده) در سوسپانسیون باشد. همچنین افزودن کورکومین به فرمولاسیون باعث دشوار شدن کاهش اندازه هی ذرات و ایجاد ذرات غیر یکنواخت می شود که در نتیجه میزان PDI افزایش می یابد به همین دلیل افزایش غلظت کورکومین باعث افزایش PDI می گردد [۱۰]. لاکاتوسو و همکاران (۲۰۱۳) نیز بیان کردند که افزایش غلظت لوتنین در حامل های لیپیدی نانوساختار باعث افزایش میزان PDI می شود [۲۵].

گرفت. همان‌طور که در شکل ۷ مشاهده می‌شود، تنها یک پیک اندوترمیک در دمای ۱۸۰ درجه سانتی گراد برایمنونه کورکومین پودری مشاهده شد. وجود یک پیک اندوترمیک نشان‌دهنده خلوص و وجود یک نوع بلور در کورکومین پودری است. کری و همکاران (۲۰۱۶) در پژوهش خود دمای کورکومین پودری را ۱۷۹ درجه سانتی گراد گزارش کردند. همچنین با توجه به شکل ۷، مشاهده می‌گردد که در گرما نگاشت‌های مربوط به SLN و NLC تنها یک پیک ذوب وجود دارد و پیک مربوط به ذوب کورکومین در آن دیده نمی‌شود [۲۶]. وستسن و همکاران و خردمندیا و همکاران نیز طی تحقیقات خود بر روی نانوذرات لیپیدی و نانوذرات لیپیدی جامد حاوی کتوپروپوفین نتایج مشابهی را گزارش کردند. آن‌ها بیان کردند حذف پیک ذوب ترکیب فعال به دلیل آن است که در حامل به صورت غیرکریستالی انکپسوله شده است. همچنین سینق و همکاران (۲۰۱۲) حذف ذوب پیک ماده فعال در منحنی گرمایشی حامل‌های لیپیدی نانوساختار حاوی تاکرولیموس را به دلیل حل شدن کامل این ترکیب در زمینه لیپیدی بیان کردند [۲۷]. آن‌ها گزارش نمودند که کاهش اندازه ذرات و تشکیل آرایش جدید با نظم کمتر توسط لیپیدها و همچنین قابلیت امتصاص پذیری لیپیدها با ساختارهای مختلف و طول زنجیره‌های مختلف در نانوحاصل‌های لیپیدی، مولکول‌های حل شده را در شبکه‌ی بلورین لیپید ثابت می‌کند و از قرار گرفتن مولکول‌های حل شده به صورت قطرات چربی دوست کوچک جلوگیری می‌نماید.

همچنین با توجه به جدول شماره ۸ ذرات NLC نسبت به SLN دارای نقطه‌ی ذوب و آنتالپی کمتری می‌باشد که این امر احتمالاً به این دلیل است که افزودن روغن مایع به فرمولاسیون باعث تخریب ساختار کریستالی ماتریکس لیپیدی می‌شود که همین امر منجر به کاهش مقدار انرژی مورد نیاز برای غلبه بر نیروی بین شبکه‌ای و ذوب شدن نانوحاصل‌ها در ساختار NLC می‌گردد.

Table 8 Melting temperature and enthalpy of developed nanocarriers

Nanocarriers	Enthalpy (j/g)	Melting point (°C)
NLC	60.54	52.64
SLN	68.35	54.29

تنها عبارت معنی‌دار برای SLN در خصوص نانوحاصل‌های میزان پتانسیل زتا غلظت کورکومین بود (جدول ۷).

Table 7 Analysis of variance (ANOVA) for zeta potential of SLN nanocarriers

Source	DF	P value
A	1	0.539ns
B	1	0.004
A×B	1	0.151 ^{ns}
A×A	1	0.606 ^{ns}
B×B	1	0.843 ^{ns}
Error	6	
Total	11	

A: GDS/GMS (w/w)

B: Concentration of curcumin

ns: Not significant at 5 % level

تأثیر غلظت کورکومین بر پتانسیل زتا در شکل ۶، مشاهده می‌شود.

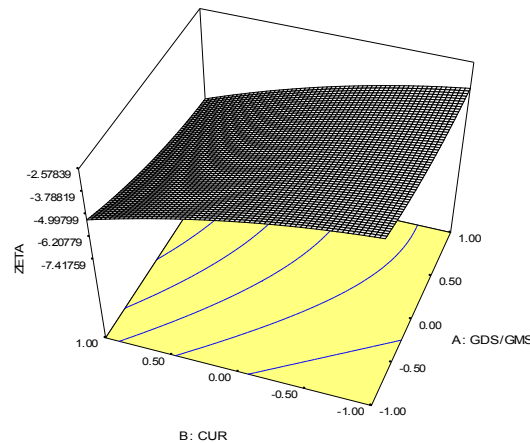


Fig 6 Response surface plot of the combined effect of lipids ratio and curcumin concentration on zeta potential of SLN nanocarrier

افزایش این متغیر سبب افزایش پتانسیل زتا در نانوحاصل‌های تولیدی شد، در حالی که تغییر نوع لیپید مصرفی (نسبت گلیسرول دی استئارات به گلیسرول مونو استئارات) هیچ تغییر معنی‌داری در این پارامتر ایجاد نکرد. خلیل و همکاران (۲۰۱۳) نیز اظهار داشتند که هیچ رابطه‌ی معنی‌داری بین نوع لیپید مصرفی و میزان پتانسیل زتا وجود ندارد [۲۴].

۴-۳- رفتار حرارتی

رفتار حرارتی کورکومین و نانوحاصل‌های NLC و SLN حاوی کورکومین که در شرایط بهینه تولید شده بودند با استفاده از روش گرماسنجی روبشی افتراقی (DSC) مورد بررسی قرار

ویسکوزیته فاز پراکنده در حضور ماده‌ی مؤثره، بارگذاری کورکومین در نانوحامل‌ها باعث افزایش معنی‌دار در اندازه ذرات و شاخص بس‌پاشیدگی شد. بطور کلی، با توجه به بررسی تاثیرات کمی و کیفی متغیرها بر اندازه ذرات، PDI و پتانسیل زتا ذرات NLC و ذرات SLN، می‌توان از غلظت ۵ درصد گلیسرول دی استئارات و ۰/۲۵ درصد کورکومین به عنوان شرایط بهینه برای تولید لیپید نانوساختار و نانوذرات لیپیدی استفاده نمود.

۵- منابع

- [1] Jayaprakasha, G., Rao, K., Jaganmohan, L., Sakariah, K.K. 2006. Antioxidant activities of curcumin, demethoxycurcumin and bisdemethoxycurcumin. *Food Chemistry*, 98(4): 720-724.
- [2] Bolourian Sh, Hosseini F, Rahimizade M, Fazli bazzaz B.B.S, Karimi M, Najaf najafi M. 1390. Natural edible color. jahad-e-daneshgahi-mashhad-publications.
- [3] Patricia F, Leal, Mara E. M. Braga, Daisy N. Sato, Joao E. Carvalho, Marcia O. M. Marques, M. Angela A. Meireles. 2003. Functional properties of spice extracts obtained via supercritical fluid extraction. *Journal of Agricultural and Food Chemistry*, 51: 2520-2525.
- [4] Joe B, Vijaykumar M, Lokesh B.R. 2004. Biological properties of curcumin-cellular and molecular mechanism of action. *Food Science and Nutrition*, 44:97-111.
- [5] Parvathy K.S., Negi P.S., Srinivas, P. 2009. Antioxidant, antimutagenic and antibacterial activities of curcumin- β -diglucoside. *Food Chemistry*, 115(1): 265-271.
- [6] Ravichandran, R. 2013. Studies on Dissolution Behaviour of Nanoparticulate Curcumin Formulation. *Advances in Nanoparticles*, 2, 51.
- [7] Martins A. F., Bueno P. V., Almeida E. A., Rodrigues, F. H., Rubira A. F., & Muniz, E. C. 2013. Characterization of N-trimethyl chitosan/alginate complexes and curcumin release. *International journal of biological macromolecules*, 57, 174-184.
- [8] Chavhan S.S. and Sawant K.K. 2011. Nanosuspensions in drug delivery: recent advances, patent scenarios, and commercialization aspects, *Crit Rev.Ther.Drug Carrier Syst*, 28.5, 447-488.
- [9] Quintanilla-Carvaljal, M. X., Camacho-Diaz, B. H., Meraz-Torres, L. S., Chanona-Perez, J. J., Alamilla-Beltran, L., Jimenez-

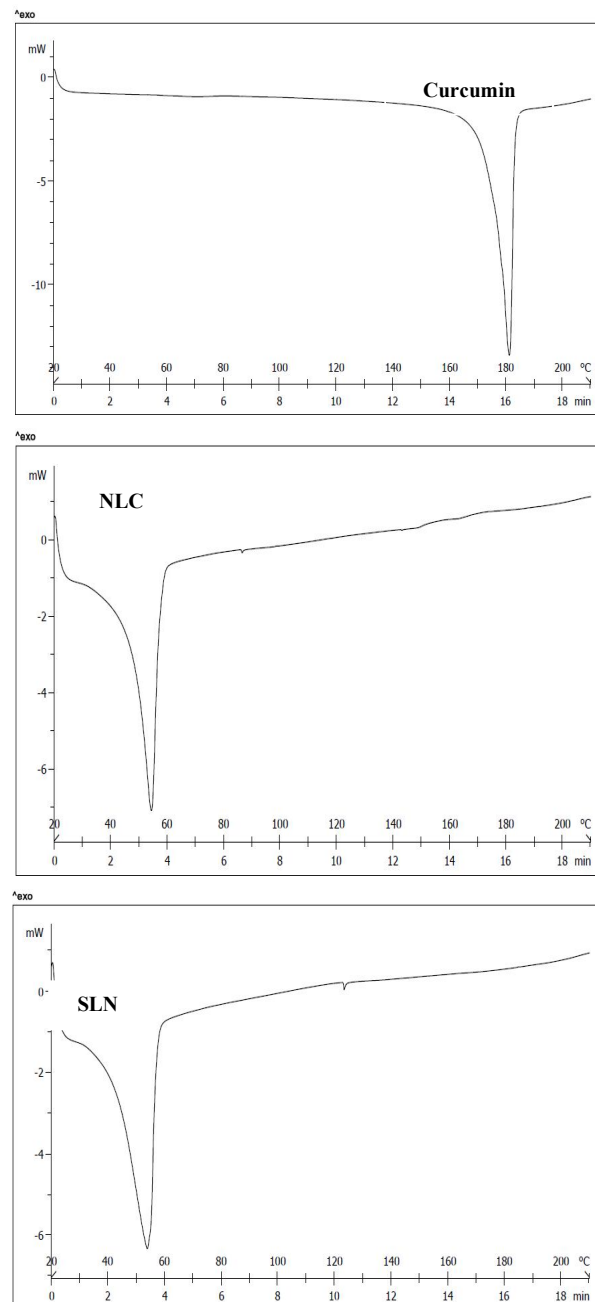


Fig 7 DSC thermographs of curcumin, NLC and SLN.

۶- نتیجه گیری

همان طور که قبل اگفته شد ذرات NLC نسبت به ذرات SLN دارای اندازه ذرات و شاخص بس‌پاشیدگی کمتر، در حالی که دارای میزان بار الکتروکی سطحی بیشتری بوده است. می‌توان دلیل کاهش اندازه ذرات در NLC را حضور روغن مایع به صورت پراکنده در ذرات چربی و برهم زدن ساختار کریستالی چربی‌ها، بیان کرد. بر اساس نتایج بدست آمده به دلیل ساختار فیزیکی حجمی کورکومین و همچنین افزایش

- B: *Biointerfaces*, 82(2), 588-593.
- [20] Suwannateep, N., Banlunara, W., Wanichwecharungruang, S. P., Chiablaem, K., Lirdprapamongkol, K., & Svasti, J. 2011. Mucoadhesive curcumin nanospheres: Biological activity, adhesion to stomach mucosa and release of curcumin into the circulation. *Journal of Controlled Release*, 151(2), 176-182.
- [21] Rao, W., Zhang, W., Poventud-Fuentes, I., Wang, Y., Lei, Y., Agarwal, P., & He, X. 2014. Thermally responsive nanoparticle-encapsulated curcumin and its combination with mild hyperthermia for enhanced cancer cell destruction. *Acta Biomaterialia*, 10(2), 831-842.
- [22] Fathi, M., Varshosaz, J., Mohebbi, M., Shahidi, F. Shahidi, F. 2013. Hesperetin-Loaded Solid Lipid Nanoparticles and Nanostructure Lipid Carriers for Food Fortification: Preparation, Characterization, and Modeling. *Food Bioprocess Technol*, 6:1464– 1475.
- [23] Sze, A., Erickson, D., Ren, L., and Li, D. 2003. Zeta-potential measurement using the Smoluchowski equation and the slope of the current-time relationship in electroosmotic flow. *Journal of colloid and interface science*, 261(2): 402-410.
- [24] Khalil, R. M., Abd-Elbary, A., Kassem, M. A., Ghorab, M. M., and Basha, M. 2013. Nanostructured lipid carriers (NLCs) versus solid lipid nanoparticles (SLNs) for 85 topical delivery of meloxicam. *Pharmaceutical development and technology*, 19(3):304-314.
- [25] Lacatusu, I., Mitrea, E., Badea, N., Stan, R., Oprea, O., and Meghea, A. 2013. Lipid nanoparticles based on omega-3 fatty acids as effective carriers for lutein delivery. Preparation and in vitro characterization studies. *Journal of Functional Foods*, 5(3): 1260-1269.
- [26] Karri, v. , Gowthamarajan Kuppusamy, G. Talluri. 2016. Curcumin loaded chitosan nanoparticles impregnated into collagen-alginate scaffolds for diabetic wound healing. *International Journal of Biological Macromolecules*, 63: 1519-1529.
- [27] Singh, kk. And Pople. P. 2013. Development and evaluation of colloidal modified nanolipid carrier: application to topical delivery of tacrolimus, Part II--in vivo assessment, drug targeting, efficacy, and safety in treatment for atopic dermatitis. *European Journal of Pharmaceutics and Biopharmaceutics*. 84(1):72-83.
- Aparicio, A., and Gutierrez-Lopez, G.F. 2010. Nanoencapsulation: a new trend in food engineering processing. *FoodEngineering Reviews*, 2(1): 39-50.
- [10] Tamjidi F., Shahedi M., Varshosaz J., and Nasirpour A. 2013. Nanostructured lipid carriers (NLC): A potential delivery system for bioactive food molecules. *Innovative Food Science & Emerging Technologies*.
- [11] Fathi M., Mozafari M. R., and Mohebbi, M. 2012. Nanoencapsulation of food ingredients using lipid based delivery systems. *Trends in food science & technology*, 23(1), 13-27.
- [12] McClements D. J. 2013. Edible lipid nanoparticles: Digestion, absorption, and potential toxicity. *Progress in lipid research*, 52(4): 409-423.
- [13] Awad, T.S., Helgasn, T., Kristbergsson, K., Decker, E.A., Weiss, J. and McClements, D.J. 2008. Effect of cooling and heating rates on polymorphic transformations and gelation of tripalmitin solid lipid nanoparticle (SLN) suspensions. *Food biophysics*, 3(2):155-162
- [14] Tiyaboonchai W., Tungpradit W., and Plianbangchang P. 2007. Formulation and characterization of curcuminoids loaded solid lipid nanoparticles. *International Journal of Pharmaceutics*, 337(1), 299-306.
- [15] Apiratikul N., Penglong T., Suksen, K., Svasti, S., Chairoungdua, A., & Yingyongnarongkul, B. 2013. In vitro delivery of curcumin with cholesterol-based cationic liposomes. *Russian Journal of Bioorganic Chemistry*, 39(4), 444-450.
- [16] Lin, C. C., Lin, H. Y., Chen, H. C., Yu, M. W., & Lee, M. H. 2009. Stability and characterisation of phospholipid-based curcumin-encapsulated microemulsions. *Food Chemistry*, 116(4), 923-928.
- [17] Ahmed, K., Li, Y., McClements, D. J., & Xiao, H. 2012. Nanoemulsion-and emulsion-based delivery systems for curcumin: Encapsulation and release properties. *Food chemistry*, 132(2), 799-807.
- [18] Gomes, G. V., Simplicio, I. A., Souto, E. B., Cardoso, L. P., and Pinho, S. C. 2013. Development of a Lipid Particle for β-Carotene Encapsulation Using a Blend of Tristearin and Sunflower Oil: Choice of Lipid Matrix and Evaluation of Shelf Life of Dispersions. *Food Technology and Biotechnology*, 51(3): 383-391.
- [19] Manju, S., & Sreenivasan, K. 2011. Hollow microcapsules built by layer by layer assembly for the encapsulation and sustained release of curcumin. *Colloids and Surfaces*

Iranian Journal of Food Science and Technology

Homepage: www.fsct.modares.ir



Scientific Research

Production of Curcumin–Loaded Lipid Nanocarriers and Evaluation of Its Physicochemical Properties

Shahidi, F. ¹, Bolourian, Sh. ^{2*}, Mortazavi, S. A. ¹, Mohebbi, M. ¹, Bagheri, A. ³

1. Department of Food Science and Technology, Faculty of Agriculture, Ferdowsi University of Mashhad (FUM), Mashhad, Iran.

2. Department of Food Additives, Food Science and Technology Research Institute, Mashhad, Iran.

3. Department of Plant Biotechnology and Breeding, Faculty of Agriculture, Ferdowsi University of Mashhad (FUM), Mashhad, Iran.

ARTICLE INFO

ABSTRACT

Article History:

Received 2019/03/14

Accepted 2021/05/26

Keywords:

Nanoencapsulation,
Nanostructured lipid carrier,
Solid lipid nanoparticles,
Curcumin.

DOI: 10.52547/fsct.18.08.22

*Corresponding Author E-Mail:
shadibolourian@yahoo.com

Curcumin (diferuloylmethane), a polyphenol extracted from *Curcuma longa*, has been well known for its functional properties. In this study, nanostructured lipid carrier (NLC) and solid lipid nanoparticles (SLN) were used to encapsulate curcumin, overcoming its limitations in food application, such as instability, poor bioavailability and poor aqueous solubility. Nanocarriers were produced by a combination of high shear homogenization and ultrasonication methods. Effect of lipids ratio, type of nanocarriers and curcumin loading on some physicochemical properties of the nanocarriers were studied. Considering both bulky structure of curcumin and increase viscosity of dispersed phase in the presence of the active ingredient, incorporating the curcumin into the nanocarriers led to a significant increase in particle size and PDI. Statistical analysis showed that lipid ratio, nanocarrier type (SLN and NLC) and curcumin loading had a significant effect on particle size ($p < 0.05$). Based on DSC results, curcumin was well encapsulated by nanocarriers without interactions with other ingredients. Generally, the concentration of 0.05%glycerol distarate and 0.25%curcumin were optimal conditions for NLC nanocarrier production.